

# ЛОКАЛИЗАЦИЯ ПАРАМЕТРА ПОРЯДКА И ВЫСОКОТЕМПЕРАТУРНАЯ СВЕРХПРОВОДИМОСТЬ

*И. М. Суслов*

Зависимость максимальной достигнутой  $T_c$  от времени (рис. 1) не-двусмысленно указывает на то, что в сверхпроводниках класса  $\text{La}_2\text{CuO}_4$  [1] стал играть роль какой-то новый, ранее несущественный фактор. Мы покажем, что в рамках традиционной схемы БКШ таким новым фактором может являться пространственная неоднородность константы электрон-фононного взаимодействия  $\lambda$ .

Рассмотрим металл с одним плоским дефектом, описываемый гамильтонианом

$$\hat{H} = \int d\mathbf{r} \left[ \hat{\psi}_{\alpha}^{\dagger}(\mathbf{r}) \hat{H}_0 \hat{\psi}_{\alpha}(\mathbf{r}) - \frac{g}{2} \hat{\psi}_{\alpha}^{\dagger}(\mathbf{r}) \hat{\psi}_{\beta}^{\dagger}(\mathbf{r}) \hat{\psi}_{\beta}(\mathbf{r}) \hat{\psi}_{\alpha}(\mathbf{r}) \right], \quad \hat{H}_0 = \varepsilon_{\parallel}(\hat{p}_{\parallel}) + \varepsilon_{\perp}(\hat{p}_z) + V\delta(z),$$

где  $\hat{p}_{\parallel}$ ,  $\hat{p}_z$  — операторы продольного  $p_{\parallel} = (p_x, p_y)$  и поперечного импульсов. Уравнения сверхпроводимости для такой модели имеют вид обычных уравнений Горькова [2], но входящая в них мацубаровская функция Грина нормального металла  $G_{\omega}$  должна строиться по гамильтониану  $\hat{H}_0$  [3]. Ввиду разделения переменных она имеет вид

$$G_{\omega}(r, r') = \int \frac{d^2 k_{\parallel}}{(2\pi)^2} e^{i k_{\parallel} (r_{\parallel} - r'_{\parallel})} G_{\omega k_{\parallel}}(z, z'), \\ G_{\omega k_{\parallel}}(z, z') = \sum_s \frac{\varphi_s(z) \varphi_s(z')}{i\omega - \varepsilon_s - \varepsilon_{\parallel}(k_{\parallel})}, \quad (1)$$

где  $\varphi_s(z)$ ,  $\varepsilon_s$  — собственные функции и значения оператора  $\varepsilon_{\perp}(\hat{p}_z) + V\delta(z)$ ; в спектре последнего всегда имеется локальный уровень, который с учетом продольного квазимпульса становится двумерной зоной (см. рис. в [4]). Для функции  $G_{\omega k_{\parallel}}$  справедливо разбиение

$$G_{\omega k_{\parallel}}(z, z') = G_{\omega k_{\parallel}}^0(z - z') + G_{\omega k_{\parallel}}^{\text{loc}}(z, z') + G_{\omega k_{\parallel}}^c(z, z'),$$

где  $G_{\omega k_{\parallel}}^0$  соответствует идеальному кристаллу;  $G_{\omega k_{\parallel}}^{\text{loc}}$  представляет собой нулевой член суммы по  $s$  в (1), соответствующий локальному уровню и локализованной вблизи  $z, z' = 0$  на атомном расстоянии; член  $G_{\omega k_{\parallel}}^c$  возникает за счет изменения состояний непрерывного спектра в сумме по  $s$  — он локализован вблизи  $z, z' = 0$  на расстоянии  $\sim v_F/\omega \sim \xi_0$ . Аналогично разбивается ядро  $K(z, z')$ , входящее в уравнение Горькова для сверхпроводящей щели  $\Delta(z)$  (свертки  $G^0 G^{\text{loc}}$  и  $G^c G^{\text{loc}}$  малы по параметру  $a/\xi_0$ , где  $a$  — радиус локализации  $\varphi_0(z)$ ,  $\xi_0$  — длина когерентности)

$$\Delta(z) = \int dz' [K_0(z - z') + K_{1\text{oc}}(z, z') + K_c(z, z')] \Delta(z'), \quad (2)$$

$$K_{1\text{oc}}(z, z') = gT \sum_{\omega} \int \frac{d^2 k_{\parallel}}{(2\pi)^2} \frac{\gamma_0^2(z) \gamma_0^2(z')}{\omega^2 + [\varepsilon_0 + \varepsilon_{\parallel}(k_{\parallel})]^2}. \quad (3)$$

Из правила суммы для ядра  $K(z, z')$  [3], связывающего его с локальной плотностью состояний  $N(\varepsilon, z)$ , получим разбиение для  $\lambda(z) = gN(0, z)$

$$\lambda(z) = \lambda_0 + \lambda_{1\text{oc}}(z) + \lambda_c(z), \quad \lambda_{1\text{oc}}(z) = gN_{2D}(0) \gamma_0^2(z),$$

где величины  $\lambda_c(z)$  и  $\lambda_{1\text{oc}}(z)$  локализованы вблизи  $z = 0$  на атомном масштабе,  $N_{2D}(\varepsilon)$  — плотность состояний отщепленной двумерной зоны.

В простейшем случае  $\lambda_{100}(z) \gg \lambda_c(z)$ , возникающем при наличии в двумерной зоне ван-Хововской особенности  $N_{2D}(\varepsilon) \sim \ln |\varepsilon|$ , в (2) можно опустить ядро  $K_c(z, z')$ ; полученное уравнение ввиду вырожденного характера ядра  $K_{loc}(z, z')$  легко решается переходом в Фурье-представление и приводит к результатам для  $T_c$  (рис. 2)

$$T_c = \begin{cases} T_{co} \left[ 1 + \frac{1}{2} \left( \frac{a}{\xi_0} \frac{\lambda_{100}}{\lambda_0 - \lambda_{100}} \right)^2 \right], & \lambda_0 - \lambda_{100} \gg (a/\xi_0)^{2/3}, \\ 1.14\omega_D \exp(-1/\lambda_{100}), & \lambda_{100} - \lambda_0 \gg (a/\xi_0)^{2/3}, \end{cases} \quad (4)$$

где

$$\lambda_{100} = g N_{2D}(0) a^{-1}, \quad a^{-1} = \int \varphi_0^*(z) dz$$

( $T_{co}$  — температура перехода в отсутствие дефекта). При изменении  $\lambda_{loc}$  переход между асимптотиками (4) и (5) происходит в узкой области  $\sim (a/\xi_0)^{2/3}$  вблизи  $\lambda_0$ ; в пределе  $a/\xi_0 \rightarrow 0$   $\lambda_0$  становится точкой фазового перехода. Из вида решения

$$\Delta(z) = \text{const} \left[ a \varphi_0^2(z) + \frac{a^2 \xi(T_c)}{\lambda_0 \xi_0^2} e^{-|z|/\xi(T_c)} \right], \quad \xi(T) = \xi_0 \sqrt{\frac{T_{co}}{2(T - T_{co})}}$$

выясняется, что вблизи  $\lambda_0$  происходит переход от состояния, локализованного на масштабе  $\xi(T)$ , к состоянию, локализованному на атомном расстоянии от плоского дефекта.

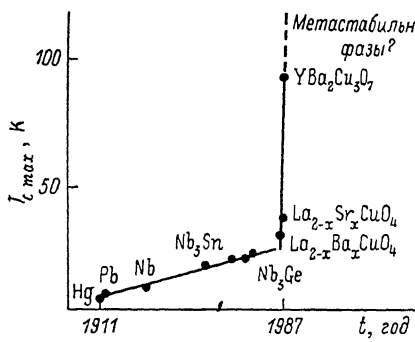


Рис. 1.

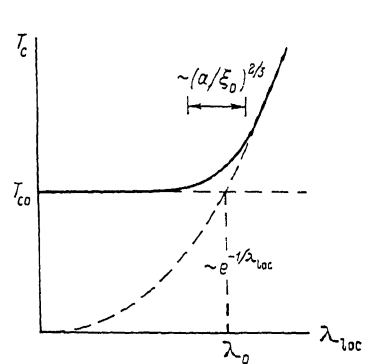


Рис. 2.

Зависимость  $T_c$  от  $\lambda_{loc}$  качественно не меняется в случае периодического расположения плоских дефектов на расстоянии  $L$ ,  $a \ll L \ll \xi(T_c)$  друг от друга (ширина переходной области вблизи  $\lambda_0 \sim \sqrt{a/L}$ ). Таким образом, рост амплитуды пространственной неоднородности  $\delta\lambda$  в слоистой системе при  $\delta\lambda \sim \lambda_0$  приводит к катастрофе: происходит переход от режима, в котором  $\Delta(z) \approx \text{const}$  и  $T_c$  определяется средним по пространству  $\bar{\lambda}$ , к режиму локализации  $\Delta(z)$  вблизи дефектов, в котором  $T_c$  определяется локальным значением  $\lambda_{loc}$ . Заманчиво связать эту катастрофу со «сверхпроводящим взрывом» 1987 г. (рис. 1).

Наблюдаемые  $T_c \sim 100$  К можно объяснить в рамках электронно-фононного механизма, предположив, что  $\omega_D \approx 400$  К,  $\lambda \approx 2$ . Сами по себе эти параметры не являются рекордными ( $\omega_D \approx 2000$  К для Ве,  $\lambda \approx 2.5$  в сплавах Pb-Bi), но их комбинация в обычных сверхпроводниках оказывается несовместной: при достижении значений  $\lambda \sim 1$  происходит сильное смягчение фононных частот  $\omega$  по сравнению с плазменными частотами ионов  $\Omega$  (это ясно из грубой оценки для типичного металла  $\lambda \sim 0.1 \Omega^2 / \omega^2$  [5]), которые, как правило,  $\lesssim 500$  К. Создание пространственной неоднородности  $\lambda$  позволяет обойти эту трудность при небольших значениях средней плотности состояний, соответствующих  $\bar{\lambda} \sim 0.1$ , вклад электронов в энергию связи несуществен и смягчения

фононных частот не происходит; в то же время локальные значения  $\lambda_{loc}$ , которыми определяется  $T_c$ , могут быть  $\geq 1$  за счет малых  $a$  и ван-хововских особенностей  $N_{2D}(\epsilon) \sim \ln |\epsilon|$ ; при локализации  $\Delta(z)$  на линейных дефектах  $\lambda_{loc} \sim gN_{1D}(0)a^{-2}$  и возможны особенности  $N_{1D}(\epsilon) \sim \epsilon^{-1/2}$  (в оксидах роль плоских и линейных дефектов играют плоскости и цепочки Cu—O). Сочетание высоких  $T_c$  с низкой средней плотностью состояний, определяемой по теплоемкости  $C_e = \gamma T$  — характерная особенность оксидов, отчетливо проявляющаяся на диаграмме  $T_c - \gamma$  [6].

Наличие ван-хововских особенностей объясняет наблюдаемые структурные аномалии, зависимость  $T_c$  от легирования [7]. С ними же связано ослабление изотоп-эффекта [8]: при наличии на уровне Ферми пика плотности состояний шириной  $\leq \omega_D$  в формулу БКШ вместо  $\omega_D$  входит ширина пика.

### Л и т е р а т у р а

- [1] Bednorz J. G., Müller K. A. // Z. Phys. B. 1986. V. 64. N 1. P. 189; Wu M. K., Ashburn J. R. et al. // Phys. Rev. Lett. 1987. V. 58. N 8. P. 908.
- [2] Абрикосов А. А., Горьков Л. П., Дзялошинский И. Е. Методы квантовой теории поля в статистической физике. М., 1962. 441 с.
- [3] de Gennes P. G. // Rev. Mod. Phys. 1964. V. 36. N 1. P. 225.
- [4] Суслов И. М. // ФТТ. 1988. Т. 30. № 5. С. 1523—1525.
- [5] Проблемы высокотемпературной сверхпроводимости / Под ред. Гинзбурга В. Л. и Киржница Д. А. М., 1977. С. 183.
- [6] Batlogg B. et al. Phys. Rev. B. 1987. V. 35. N 10. P. 5340.
- [7] Суслов И. М. // Письма в ЖЭТФ. 1987. Т. 46. № 10. С. 402—405.
- [8] Mattis D. C., Mattis M. P. // Phys. Rev. Lett. 1987. V. 59. N 24. P. 2780.

Физический институт  
им. П. Н. Лебедева АН СССР  
Москва

Поступило в Редакцию  
6 июля 1988 г.

УДК 669.863'864 : 538.652

*Физика твердого тела. том 31, в. 1, 1989*  
*Solid State Physics. vol. 31, № 1, 1989*

## НЕКОТОРЫЕ МАГНИТОУПРУГИЕ И НЕУПРУГИЕ СВОЙСТВА МОНОКРИСТАЛЛА $Tb_{0.5}Dy_{0.5}$

*Г. И. Катаев, М. Р. Саттаров*

Большая часть измерений упругих свойств монокристаллов магнетиков производится на ультразвуковых частотах. При этом часть информации может теряться, когда например, в полученных результатах не находят отражения определенные доменные процессы, а для всех диссипативных явлений (затухание ультразвука на высоких и внутреннее трение на сравнительно низких частотах) вообще характерна резкая частотная зависимость. Магнитоупругие и другие свойства двойных сплавов редкоземельных металлов друг с другом пока изучены слабо. В данной работе методом возбуждения изгибных автоколебаний малых ( $7 \times 3 \times 0.2$  мм) консольно закрепленных образцов [1], вырезанных вдоль кристаллографических осей  $c$ ,  $a$ ,  $b$  гексагонального кристалла  $Tb_{0.5}Dy_{0.5}$ , на частотах около 2 кГц измерялись модули Юнга по направлениям этих осей  $E_c = s_{33}^{-1}$  и  $E_{a,b} = s_{11}^{-1}$  ( $s_{ii}$  — константы упругой податливости) и путем разрыва цепи электромеханической обратной связи и подсчета числа затухающих колебаний между порогами дискриминатора соответствующее внутреннее трение  $Q^{-1}$ . Измерения проводились в полях электромагнита с индукцией до 1.45 Тл и температурном интервале 77—300 К с точностью по изменению  $E$  0.02 % и по изменению  $Q^{-1}$  около 0.5 %.

Монокристалл выращен в ГИРЕДМЕТ по методу Чохральского из исходных металлов чистотой 99.99 % с максимальным отклонением от